

## 正交采样的理论和技术实现\*

杨 平

耿富录

(航天部804所)(西安电子科技大学 西安 710071)

**【摘要】**在雷达等数字信号处理中,常常先需要将接收信号分解为正交的 $I$ 、 $Q$ 两路数字信号。 $I$ 、 $Q$ 信号的幅相不平衡会使得信号处理系统的性能降低,而传统的双通道正交检波方法又会使得这种不平衡性较大。本文通过对获得 $I$ 、 $Q$ 信号的几种典型采样方法进行的理论分析表明,对中频信号直接进行正交采样的单通道处理方法最优,它不仅只需要一个 $A/D$ 转换器,而且还可以消除 $I$ 、 $Q$ 信号的幅度误差,有效地降低 $I$ 、 $Q$ 信号的相位误差。通过选取工程较易实现的中点Bessd内插函数,中频直接正交采样的硬件实现得以完成。对实验结果进行的大量测试表明, $I$ 、 $Q$ 信号的相位误差小于 $1^\circ$ ,无幅度误差,由此说明这一方法不仅在理论上可行,而且具有极大的实用价值。

## 1 传统的正交检波器

在雷达等信号处理系统中,常需要将接收的信号转换为基带的同相分量和正交分量(分别表示为 $I$ 和 $Q$ )。

窄带信号可以表示为如下形式:

$$\begin{aligned} S(t) &= a(t) \cdot \cos[2\pi f_c t + \varphi(t)] \\ &= I(t) \cos 2\pi f_c t - Q(t) \sin 2\pi f_c t \end{aligned} \quad (1)$$

式中 $I(t)$ 和 $Q(t)$ 分别表示 $S(t)$ 的同相和正交分量, $f_c$ 为 $s(t)$ 的载频, $a(t)$ 和 $\varphi(t)$ 分别为 $s(t)$ 的包络和初相位。且有关系:

$$I(t) = a(t) \cdot \cos \varphi(t) \quad (2a)$$

$$Q(t) = a(t) \cdot \sin \varphi(t) \quad (2b)$$

传统的正交检波数字采样电路如图1所示,它是通过对模拟正交检波器的输出进行 $A/D$ 转换来实现,模拟检波器的误差是数字输出的主要误差源。

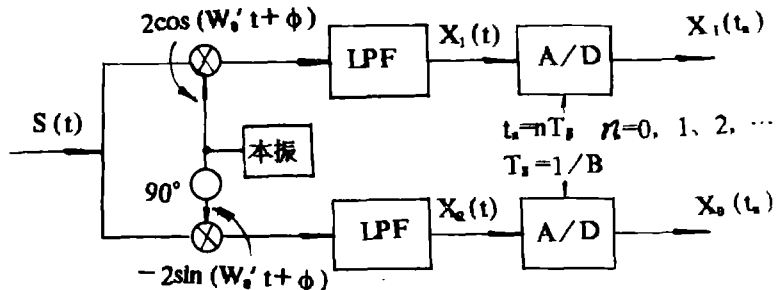


图1 传统数字正交检波器

\* 本文于1991年11月21日收到

当  $w_o = w_o = 2\pi f_o$  时, 检波器输出为

$$X_o(t_n) = X_I(t_n) + jX_Q(t_n)$$

$$= [I(t_n)\cos\varphi + Q(t_n)\sin\varphi] + j[Q(t_n)\cos\varphi - I(t_n)\sin\varphi] \quad (3)$$

式中  $t_n = n/B$ ,  $n = 0, 1, 2, \dots$

图2(c)示出式(3)的频谱,它是通过对图2(b)以速率  $B$  采样得到的,图2(a)为  $s(t)$  的频谱,下变频后得到图2(b)。

为了提高输出数字信号的精度,也可以采用如图3所示的方法。它是将带通信号  $s(t)$  直接采样或是先将  $s(t)$  混频到一个较低的中频信号再采样,把采样样本通过两个数字 Hilbert 变换滤波器就可以实现正交检波的输出结果。其频谱变化过程如图4所示,(a)为信号  $s(t)$  的频谱, $s(t)$  下变频到一个较低中频(这里取  $B$ )得  $s_o(t)$  的频谱(b),对(b)以速率  $4B$  采样后得  $s(t_n)$  的频谱(c),通过两个数字滤波器得单边带谱(d),再对(d)以速率  $B$  抽样(或者说对样本进行4:1分选)得到所需频谱如图4(e)。

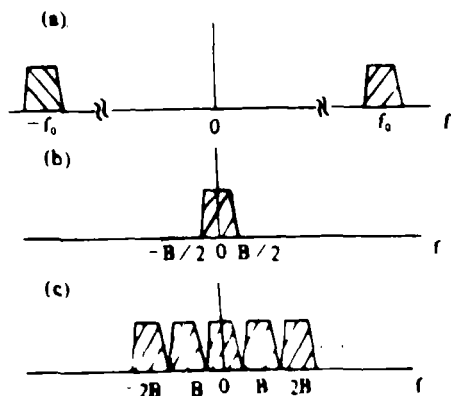


图2 传统数字正交采样的频谱

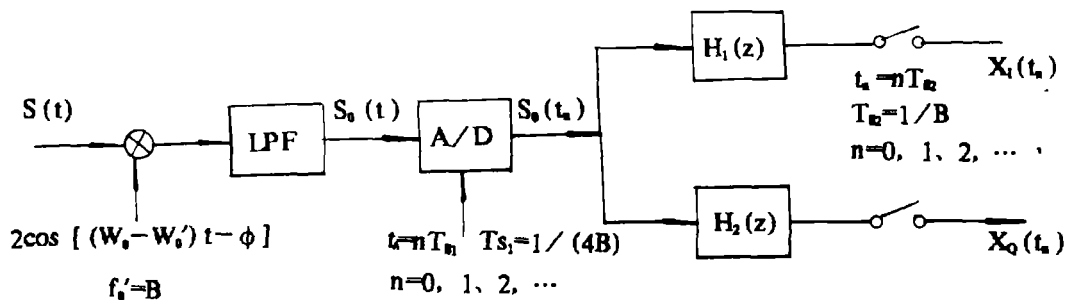


图3 传统的中频数字采样技术

但这一方法对采样速率要求很高(与前一方法相比提高到4倍),同时受数字滤波器阶数限制,也难以得到高精度的  $I$ 、 $Q$  数字信号。

## 2 中频直接正交采样

这种正交采样技术不仅速度高,失真小,而且结构简单。实现框图如图5所示。从图5可知,它仅有一个混频器、一个低通滤波器及一个 A/D 转换器。其实现正交采样的过程如下:

(1) 把中心频率为  $f_o$  的窄带信号  $s(t)$  下变频为一个低中频信号,此时中心频率为  $f_o'$ ,但仍假定信号带宽较大幅度地小于  $f_o'$ 。即:

$$\begin{aligned} s_o(t) &= LPF\{s(t) \cdot 2\cos[(w_o - w_o')t - \varphi]\} \\ &= I(t)\cos(w_o't + \varphi) + Q(t)\sin(w_o't + \varphi) \end{aligned} \quad (4)$$

式中  $\varphi$  为一固定相移,  $LPF$  为理想低通滤波器。

(2) 将  $s_o(t)$  按速率  $f_s = 4f_o'/(2M - 1)$  进行 A/D 转换,输出结果还要分别乘以系数  $2\cos$

$(2\pi f_s^1 t_n)$ 和 $(-1)^n \cdot 2\sin(2\pi f_s^1 t_n)$ 以进行符号变换,其中 $M$ 为正整数,同时 $f_s$ 必须满足条件 $f_s \geq 2B$ 。对于 $I$ 通道,有结果(以 $M=1$ 为例讨论)

$$X_I(t_n) = S_o(t_n) \cdot 2\cos(2\pi f_s^1 \alpha t_n) \quad (5)$$

将式(4)代入(5)有

$$X_I(t_n) = \begin{cases} 0 & n \text{ 为奇数} \\ [I(t_n)\cos\varphi + Q(t_n)\sin\varphi] & n \text{ 为偶数} \end{cases} \quad (6)$$

同理有 $Q$ 通道的输出

$$X_I(t_n) = \begin{cases} [I(t_n)\cos\varphi + Q(t_n)\sin\varphi] & n \text{ 为偶数} \\ 0 & n \text{ 为奇数} \end{cases} \quad (7)$$

对于其他 $M$ 取值,(6)和(7)式亦成立,在此不再作推导。

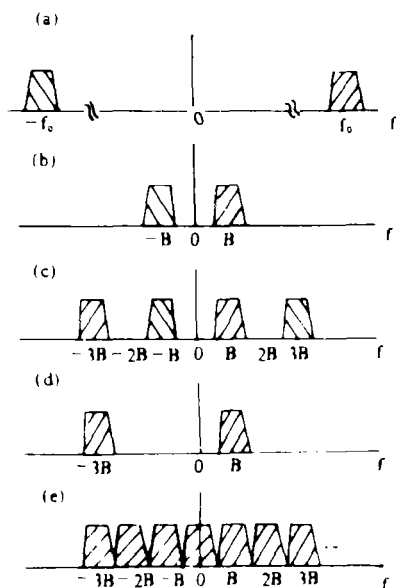


图4 传统中频采样频谱变化过程

中频直接正交采样的信号频谱变化过程如图6所示。(a)为窄带信号 $s(t)$ 的频谱,(b)为低中频信号 $s_o(t)$ 的频谱;(c)为按速率 $f_{s1} = 4f_o$  (即取 $M=1$ )对(b)采样所得结果,对(c)进行频移便得到频谱(d),即为所需的最后输出结果。当对 $s_o(t)$ 采样时把速率改为 $f_{s2} = \frac{4}{3}f_o$  (即取 $M=2$ ),则得频谱(e),经频移后得(f)所示频谱。如果中频直接正交采样信号频谱变化过程速率改为 $f_{s3} = \frac{4}{5}f_o$ ,则得如(g)所示的频谱,经频移后得(h),即为按速率 $f_{s3}$ 对 $s_o(t)$ 采样处理后得到的基带复信号频谱。这里列举了 $M=1,2,3$ 时信号频谱变化过程,对于其他 $M$ 值,其对应的 $f_s$ 只要同时满足基本条件 $f_s \geq 2B$ 以避免频谱混迭,就可以保证正交采样的正确进行。

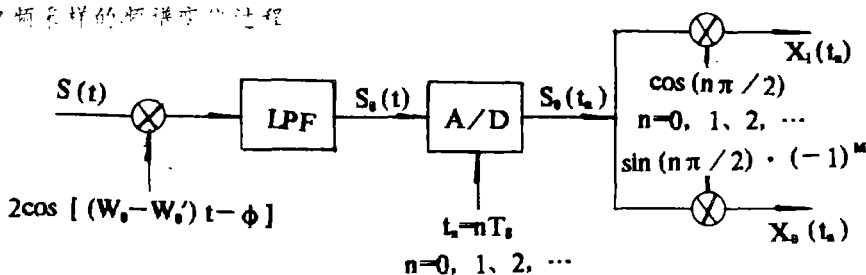


图5 中频直接正交采样

实质上,图6中(d)、(f)和(h)是基本相同的,都能使得基带信号被正确地恢复,只不过它们的采样速率不同罢了。

从(6)和(7)式可以看出,这种方法是交叉采样得到 $I$ 和 $Q$ 值。下面将继续讨论同时获得 $I$ 、 $Q$ 值的问题。

### 3 内插法实现窄带信号的正交采样

对于带通信号将 (1) 式重写如下:

$$\begin{aligned} S(t) &= A(t) \cdot \cos[2\pi f_o t + \varphi(t)] \\ &= A(t)\cos\varphi(t)\cos 2\pi f_o t - A(t)\sin\varphi(t)\sin 2\pi f_o t \\ &= I(t)\cos 2\pi f_o t - Q(t)\sin 2\pi f_o t \end{aligned} \quad (8)$$

令取样间隔为  $\Delta t$ , 且满足 Nyquist 准则, 以  $t=n\Delta t$  代入式 (8) 有

$$S(n\Delta t) = I(n\Delta t)\cos 2\pi f_o \Delta t - Q(n\Delta t)\sin 2\pi f_o \Delta t \quad (9)$$

设  $\Delta t$  还满足条件

$$f_o \Delta t = \frac{M}{2} - \frac{1}{4}, \quad M \text{ 为正整数} \quad (10)$$

将式 (10) 代入 (9), 得

$$s(n\Delta t) = \begin{cases} (1)^{n/2} I(n\Delta t) & n \text{ 为偶数} \\ (-1)^M \cdot (-1)^{(n-1)/2} Q(n\Delta t) & n \text{ 为奇数} \end{cases} \quad (11)$$

当  $f_o \gg w$ ,  $w$  为最大信号带宽, 还可以写出

$$s(n\Delta t) + \frac{1}{4f_o} = \begin{cases} - (1)^{n/2} \hat{Q}(n\Delta t + \frac{1}{4f_o}) \\ \approx - (-1)^{n/2} \hat{Q}(n\Delta t) & n \text{ 为偶数} \\ (-1)^M \cdot (-1)^{(n-1)/2} \hat{I}(n\Delta t + \frac{1}{4f_o}) \\ \approx (-1)^M \cdot (-1)^{(n-1)/2} \hat{I}(n\Delta t) & n \text{ 为奇数} \end{cases} \quad (12)$$

然而为了降低 A/D 转换时的窗口误差, 总希望  $f_o$  较小, 而这样又会影响到  $\hat{S}(n\Delta t + \frac{1}{4f_o})$  接近于相应的  $I$  和  $Q$  的程度。鉴于此, 可重新选择载频  $f_o^1 = [(2M^1 - 1)/2]W$ , 其中  $M^1$  为一整数, 满足  $f_o^1 \gg f_o$ , 则

$$\lim_{f_o^1 \rightarrow \infty} S(n\Delta t + \frac{1}{4f_o^1}) = \begin{cases} - (-1)^{n/2} \hat{Q}(n\Delta t) & n \text{ 为偶数} \\ (-1)^M \cdot (-1)^{(n-1)/2} \hat{I}(n\Delta t) & n \text{ 为奇数} \end{cases} \quad (13)$$

只要  $\hat{S}$  是  $S$  的正确估计值,  $\hat{S}(n\Delta t + \frac{1}{f_o^1})$  就可以任意小误差地接近于相应的  $I$  和  $Q$  值。

而  $\hat{S}(n\Delta t + \frac{1}{f_o^1})$  可以通过由采样得到的一系列样本值  $\hat{S}(n\Delta t)$  来内插得到, 内插公式为

$$s(t) = \sum_n s(n\Delta t) \cdot T(t - n\Delta t) \quad (14)$$

式中  $T(t)$  为内插函数。在此不作进一步讨论。

### 4 正交采样电路内插滤波器的选择

前面讨论了用内插法实现正交采样的理论基础, 其中需要内插的  $I$ 、 $Q$  值是通过中对中频信号  $S(t)$  的内插来实现的。为了保证  $I$ 、 $Q$  值的精度, 完成 (14) 式运算的内插滤波器阶数不能太低, 加之采样速率又较高, 要实时完成这一内插运算是很困难的。

由于 A/D 转换得到的样本经过简单的符号变换就可以交叉得到所需的  $I$ 、 $Q$  值, 因而本文试图采用已取得的  $I$  (或  $Q$ ) 样本来内插另一半的  $I$  (或  $Q$ ) 值。在数学上, 这样的内插公式是

很多的,通过对比,本文决定采用工程上较易实现的中点 *Bessel* 内插公式,此内插公式如(15)式所示。

$$\begin{aligned}
 P\left(\frac{x_0+x_1}{2}\right) = & \frac{1}{2} (y_0 + y_1) + \frac{1}{16} (-y_{-1} + y_0 + y_1 - y_2) \\
 & + \frac{3}{256} (y_{-2} - 3y_{-1} + 2y_0 + 2y_1 - 3y_2 + y_3) \\
 & + \frac{5}{2048} (-y_{-3} + 5y_{-2} - 9y_{-1} + 5y_0 + 5y_1 - 9y_2 + 5y_3 - y_4) \\
 & + \dots \quad (15)
 \end{aligned}$$

式中  $y_i$  为内插节点值,  $P$  为内插值。

通过对(15)式余项(内插误差)的计算,当取6阶内插时,由内插误差引起的  $I$ 、 $Q$  相位误差在  $0.2^\circ$  以下;而采用4阶内插时,上述相位误差达  $1^\circ$ 。因而本文选取滤波器阶数为6。6阶中点 *Bessel* 内插公式为

$$\begin{aligned}
 P\left(\frac{x_0+x_1}{2}\right) = & (3y_{-2} - 25y_{-1} + 150y_0 + 150y_1 - 25y_2 + 3y_3) / 256 \\
 & \quad (16)
 \end{aligned}$$

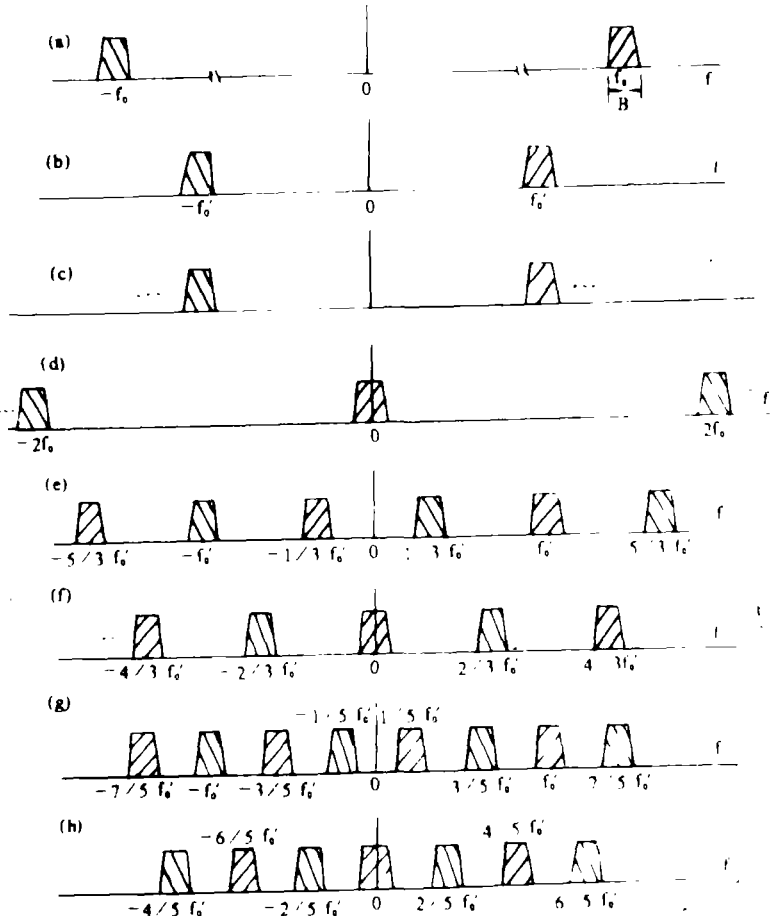


图6 中频直接正交采样信号频谱变化过程

## 5 正交采样的硬件实现

前面论证中频直接正交采样得到  $I$ 、 $Q$  数字信号的理论基础和技术实现方法,由此可以得出如图7所示的实现正交采样的总体框图。它的关键部分是模拟信号的数字化和数字滤波器两部分,另外还有一些附加电路如时序产生电路和为了便于观察而设计的  $D/A$  转换电路。

中频信号由输入电路加到  $\Lambda/D$  转换器量化为数字信号,此信号经过符号变换后便得到  $I$ 、 $Q$  两路信号的内插运算样本值,  $I$ 、 $Q$  信号在内插运算电路中进行内插,最后进入  $I$ 、 $Q$  分离电路同时输出  $I$ 、 $Q$  两路正交数字信号。整个电路的时序都是靠采样脉冲来同步。

本电路选用的  $\Lambda/D$  器件为  $C3318$ ,它不仅功耗低,而且采样速率很高,可达  $15\text{MHz}$ ,还具有锁存式三态输出。 $\Lambda/D$  电路部分的设计要求很高,因为直接影响到信号量化误差的大小。

符号变换电路可以采用异或门器件  $74\text{LS}86$  和加法器  $74\text{LS}283$  来完成,输出信号可为补码和原码两种方式,这里采用补码方式。

将前面确定的滤波器应用于本文涉及的实际情况，则内插运算公式为

$$I(2n+1) = [3I(2n-4) - 25I(2n-2) + 150I(2n) + 150I(2n+2) - 25I(2n+4) + 3I(2n+6)]/256 \quad (17a)$$

$$Q(2n) = [3Q(2n-5) - 25Q(2n-3) + 150Q(2n-1) + 150Q(2n+1) - 25Q(2n+3) + 3Q(2n+5)]/256 \quad (17b)$$

由于  $I$  是通过偶数点上的数据内插奇数点上的数据，而  $Q$  是由奇数点上的数据内插偶数点上的数据，因而  $I$ 、 $Q$  内插运算可由一套内插电路来完成。

根据上面内插公式的系数形式，可以采用移位相加技术完成内插运算。实际使用移位寄存器74LS164，加法器74LS283。最后用74LS157进行  $I$ 、 $Q$  分离并同时输出  $I$ 、 $Q$  两路正交数字信号。

为了便于观察，还可以把  $I$ 、 $Q$  数字信号输入到一个附加的双路 D/A 转换器上，得到模拟的  $I$ 、 $Q$  信号。同时，为了测试电路性能，得到  $I$ 、 $Q$  正交数字信号的幅相特性，可把  $I$ 、 $Q$  数字信号输入计算机进行分析处理

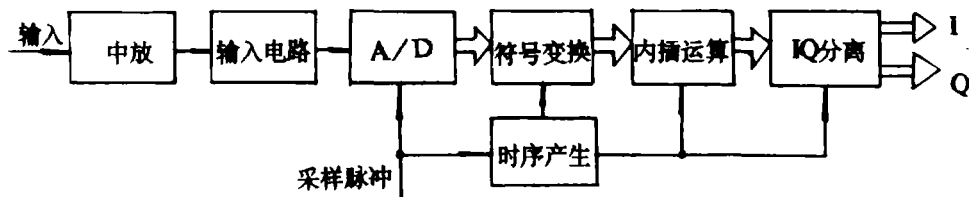


图7 中频直接正交采样原理框图

## 6 结论

输入一典型的中频信号，经过正交采样电路后，得到的  $I$ 、 $Q$  正交数字信号通过附加的双路 D/A 转换器，便可以在示波器上看到如图8所示的相应的  $I$ 、 $Q$  模拟信号波形；图9为此正交模拟信号的 Lissajous 图形。

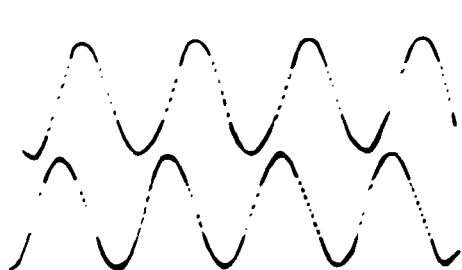


图8 模拟  $I$ 、 $Q$  信号波形

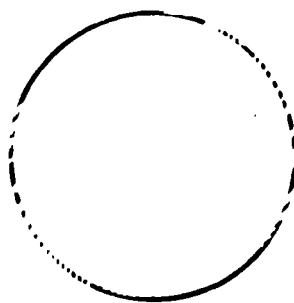


图9  $I$ 、 $Q$  信号的 Lissajous 图形

同时，还可以把  $I$ 、 $Q$  数字信号输入计算机，经软件分析，测得  $I$ 、 $Q$  两路正交信号的相位误差小于  $1^\circ$ （理论值  $0.4^\circ$ ），无幅度误差（与理论值相符）。（下转第43页）

$$\vec{g} = \{0, 465, 1166.861\}$$

$$\cos m = \frac{\vec{k} \cdot \vec{g}}{|\vec{k}| |\vec{g}|} = 0.92890$$

$$m = 21.73^\circ$$

$$\beta = 90^\circ - 21.73^\circ = 68.27^\circ$$

计算两根馈源支架的夹角:如上所述,  
一根馈源支架对应的矢量为:

$$\overrightarrow{DU} = \{-113.551, -465, \\ -1166.861\}$$

图 6 馈源支架尺寸计算示意图

由于对称性,另一根馈源支架的对应矢量为:

$$(\overrightarrow{DU})' = \{-113.551, 465, -1166.861\}$$

则:设两支架夹角为  $A$ , 则:

$$\cos A = \frac{\overrightarrow{DU} \cdot (\overrightarrow{DU})'}{|\overrightarrow{DU}| |(\overrightarrow{DU})'|} = 0.72814, \quad A = 43.27^\circ$$

## 4 结束语

通过以上的计算分析,我们得到了进行结构出图所需的全部几何尺寸,为天线的设计成功打下了很好的基础。此天线连同小站全系统已经通过部级鉴定,各项技术指标高于国外同类产品,取得了满意的结果,本文中使用的空间解几及矢量方法,大大方便了复杂的空间尺寸和角度的计算,值得进一步的研究和推广。

\*\*\*\*\*

(上接第 30 页)

在  $I, Q$  精度要求不是很高的情况下,也可以取 4 价中点 Bessel 内插公式来完成内插运算,实验结果表明其效果也很好。

【致谢】本文是在丁鹭飞教授的悉心指导和热情鼓励下完成的,不论是理论,还是在硬件的实现过程中,赵树杰副教授给予了很大的支持和帮助,作者在此表示诚挚的感谢。

## 参 考 文 献

- [1] Hulin Liu, Arif Ghafoor, Peter H. Stockmann. A New Quadrature Sampling and Processing Approach. IEEE Trans, 1989; Vol. 25, No. 5;
- [2] W. M. Waters, B. R. Jarrett. Bandpass Signal Sampling and Coherent Detection. IEEE Trans. 1982; Vol. 18, No. 1;
- [3] 曹立凡, 史万朋编著: 数值分析
- [4] 丁鹭飞主编: 雷达原理, 西北电讯工程学院出版社